

*Копитко М.Ф., Савула Я.Г.*

## **Алгоритмічний підхід до дослідження задач пружного деформування оболонок**

При чисельному дослідженні задач механіки деформування просторових тіл, один з характерних вимірів яких є значно менший від інших, у тривимірній постановці виникають значні труднощі. Підхід, який пов'язаний з використанням різних теорій оболонок, є обмежений геометричними формами середовищ та прийнятими гіпотезами стосовно шуканих функцій.

У зв'язку з цим у даній роботі пропонується підхід до дослідження задач механіки деформування оболонкових тіл, який має такі характерні особливості:

- використовуються тривимірні рівняння теорії пружності в криволінійній системі координат;
- розв'язки відповідної задачі будується напіваналітичним методом скінчених елементів шляхом використання подання шуканих функцій за однією змінною у вигляді сум за поліномами Лежандра.

Використання напіваналітичного методу скінчених елементів має давню історію [2,3,4,6], але, в основному, він застосовувався при розв'язуванні неосесиметричних задач для тіл обертання, оболонок нульової гаусової кривини і в ролі базисних функцій вибирались тригонометричні функції. В останні роки опубліковано роботи І.Бабушки, наприклад [8], в яких запропонована і розвивається h-версія методу скінчених елементів. Відмінність запропонованого авторами підходу від попереднього полягає в поданні шуканих функцій у вигляді ряду за поліномами Лежандра не в локальних вузлах скінченого елемента, а в кожному вузлі скінченоелементної сітки.

Розглянемо задачі деформування просторових тіл, геометрію яких можна описати в криволінійній системі координат, побудованій таким способом. Нехай

$$\vec{r} = \vec{r}(\alpha_1, \alpha_2), \quad (\alpha_1, \alpha_2) \in \Omega \quad (1)$$

векторне рівняння деякої поверхні в просторі, віднесене до ліній головних кривин. У кожній точці поверхні введемо ортогональний трієдр

$$\vec{e}_1 = \frac{1}{A_1} \vec{r}_{\alpha_1}, \quad \vec{e}_2 = \frac{1}{A_2} \vec{r}_{\alpha_2}, \quad \vec{e}_n = \vec{e}_1 \times \vec{e}_2, \quad (2)$$

де  $\vec{r}_{\alpha_1} = \frac{\partial \vec{r}}{\partial \alpha_1}$ ,  $\vec{r}_{\alpha_2} = \frac{\partial \vec{r}}{\partial \alpha_2}$ ;  $A_1 = \sqrt{\vec{r}_{\alpha_1} \cdot \vec{r}_{\alpha_1}}$ ,  $A_2 = \sqrt{\vec{r}_{\alpha_2} \cdot \vec{r}_{\alpha_2}}$  – коефіцієнти

Ляме поверхні (1).

Радіус-вектор довільної точки тіла подамо у вигляді

$$\vec{R}(\alpha_1, \alpha_2, \alpha_3) = \vec{r}(\alpha_1, \alpha_2) + \vec{n}(\alpha_1, \alpha_2) \alpha_3, \quad (3)$$

$$(\alpha_1, \alpha_2) \in \Omega, \quad h^-(\alpha_1, \alpha_2) \leq \alpha_3 \leq h^+(\alpha_1, \alpha_2),$$

де  $\vec{n}$  – нормаль до поверхні (1).

Введемо вектори, елементи яких складаються з переміщень довільної точки тіла та компонентів тензора деформації Коші і тензора напружень:

$$\begin{aligned} u &= [u_1, u_2, u_3]^T, \\ \varepsilon &= [\varepsilon_{11}, \varepsilon_{22}, \varepsilon_{33}, \varepsilon_{23}, \varepsilon_{13}, \varepsilon_{12}]^T, \\ \sigma &= [\sigma_{11}, \sigma_{22}, \sigma_{33}, \sigma_{23}, \sigma_{13}, \sigma_{12}]^T. \end{aligned} \quad (4)$$

Зв'язок між вектором переміщень  $u$  і вектором деформацій  $\varepsilon$  у вибраній нами ортогональній системі координат запишеться у вигляді

$$\varepsilon = D_A u, \quad (5)$$

де

$$D_A = \begin{bmatrix} \frac{1}{H_1} \frac{\partial}{\partial \alpha_1} & 0 & \frac{1}{H_1} \frac{\partial H_1}{\partial \alpha_3} \\ \frac{1}{H_1 H_2} \frac{\partial H_2}{\partial \alpha_1} & \frac{1}{H_2} \frac{\partial}{\partial \alpha_2} & \frac{1}{H_2} \frac{\partial H_2}{\partial \alpha_3} \\ 0 & 0 & \frac{\partial}{\partial \alpha_3} \\ 0 & -\frac{1}{H_2} \frac{\partial H_2}{\partial \alpha_3} & \frac{1}{H_2} \frac{\partial}{\partial \alpha_2} \\ -\frac{1}{H_1} \frac{\partial H_1}{\partial \alpha_3} + \frac{\partial}{\partial \alpha_3} & 0 & \frac{1}{H_1} \frac{\partial}{\partial \alpha_1} \\ \frac{1}{H_2} \frac{\partial}{\partial \alpha_2} & -\frac{1}{H_1 H_2} \frac{\partial H_2}{\partial \alpha_1} + \frac{1}{H_1} \frac{\partial}{\partial \alpha_1} & 0 \end{bmatrix} \quad (6)$$

У формулі (6) через  $H_i$  позначені коефіцієнти Ляме, які для введеної системи координат мають вигляд

$$H_1 = A_1(1 + k_1 \alpha_3), \quad H_2 = A_2(1 + k_2 \alpha_3), \quad H_3 = 1, \quad (7)$$

де  $k_1(\alpha_1, \alpha_2), k_2(\alpha_1, \alpha_2)$  – головні кривизни поверхні (1).

Подамо фізичний закон, який зв'язує напруження з деформаціями співвідношенням

$$\sigma = C \varepsilon. \quad (8)$$

У даній роботі він вибирається для матеріалу з однією площинною симетрії. У цьому випадку матриця  $C$  у формулі (8) складається з 13 незалежних компонентів.

Розглянемо задачі статики лінійної теорії пружності, які в варіаційній постановці зводяться до мінімізації функціоналу Лагранжа

$$F(u) = \frac{1}{2} \iiint_V \sigma^T \varepsilon dV - \iint_{S_t} \sigma_n u dS - \iint_{S^+} \sigma_n u dS - \iint_{S^-} \sigma_n u dS, \quad (9)$$

на множині функцій  $u \in W_2^{(1)}(u)$ , які задовільняють головні граничні умови

$$u = 0, \quad (\alpha_1, \alpha_2, \alpha_3) \in S_t. \quad (10)$$

У формулі (9)  $V$ -область, яку займає тіло,  $S_t$  – бокова поверхня,  $S^\pm$  – лицьові поверхні,  $\sigma_n = [\sigma_{1n}, \sigma_{2n}, \sigma_{nn}]$  – вектор заданих поверхневих навантажень.

Замінюючи в формулі (9) інтегрування за об'ємом, інтегруванням по поверхні і записуючи інтеграл по поверхні через інтеграл по області, отримаємо новий вигляд функціоналу

$$\begin{aligned} F(u) = & \frac{1}{2} \iint_{\Omega} \left\{ \int_{h^-(\alpha_1, \alpha_2)}^{h^+(\alpha_1, \alpha_2)} \int \sigma^T \varepsilon A_1 A_2 (1 + k_1 \alpha_3)(1 + k_2 \alpha_3) d\alpha_3 \right\} d\alpha_1 d\alpha_2 - \\ & - \int_{g_1}^{h^+(\alpha_1, \alpha_2)} \int_{h^-(\alpha_1, \alpha_2)}^0 \sigma_2^0(\alpha_1, \alpha_2^{\text{const}}, \alpha_3) u A_1 (1 + k_1 \alpha_3) d\alpha_3 d\alpha_1 - \\ & - \int_{g_2}^{h^+(\alpha_1, \alpha_2)} \int_{h^-(\alpha_1, \alpha_2)}^0 \sigma_1^0(\alpha_1^{\text{const}}, \alpha_2, \alpha_3) u A_2 (1 + k_2 \alpha_3) d\alpha_3 d\alpha_2 - \\ & - \iint_{\Omega} [\sigma_3^+ u (1 + k_1 h^+) (1 + k_2 h^+) - \sigma_3^- u (1 + k_1 h^-) (1 + k_2 h^-)] A_1 A_2 d\alpha_1 d\alpha_2, \end{aligned} \quad (11)$$

$\sigma_1^0 = [\sigma_{11}, \sigma_{12}, \sigma_{13}]_{\alpha_1 = \alpha_1^{const}}, \sigma_2^0 = [\sigma_{21}, \sigma_{22}, \sigma_{23}]_{\alpha_2 = \alpha_2^{const}},$   
де

$$\sigma_3^+ = [\sigma_{31}, \sigma_{32}, \sigma_{33}]_{\alpha_3 = h^+(\alpha_1, \alpha_2)}, \sigma_3^- = [\sigma_{31}, \sigma_{32}, \sigma_{33}]_{\alpha_3 = h^-(\alpha_1, \alpha_2)},$$

вектори заданих поверхневих напружень,  $g_1$  – крива на боковій поверхні, яка збігається з лінією  $\alpha_2^{const}$ ,  $g_2$  – крива на боковій поверхні, яка збігається з лінією  $\alpha_1^{const}$ .

Використовуючи формулі (5) і (8), в функціоналі (11) в першому інтегралі підінтегральний вираз можна переписати відносно вектора переміщень  $u$

$$\sigma^T \varepsilon = \varepsilon^T C^T \varepsilon = u^T D_A^T \varepsilon^T D_A u \quad (12)$$

Таким чином, розв'язування задачі зводиться до відшукування вектора переміщень  $u$ , який мінімізує функціонал (11) і задовільняє умови (10).

Пропонується для знаходження розв'язку задачі (11),(10) застосовувати чисельно-аналітичний підхід, який полягає в поданні шуканого розв'язку за координатою  $\alpha_3$  у вигляді скінченної суми за поліномами Лежандра, а в області  $\Omega$  використовувати схему методу скінчених елементів, раніше запропоновану авторами [5]

$$u_i(\alpha_1, \alpha_2, \alpha_3) = \sum_{m=0}^{M_i} u_i^m(\alpha_1, \alpha_2) P_m(\alpha_3), \quad i = 1, 2, 3, \quad (13)$$

де  $P_m(\alpha_3)$  – поліноми Лежандра,  $u_i^m(\alpha_1, \alpha_2)$  – невідомі функції, для апроксимації яких використовуються скінченноелементні апроксимації.

Запропонована вище методика реалізована у вигляді комплексу програм на мові Сі. Її ефективність була досліджена на прикладі розв'язування ряду тестових задач теорії пружності.

### Задача 1.

Розглядається задача про плоский напруженій стан прямокутної пластини (див. рис. 1) під дією рівномірного навантаження  $\sigma_3^+ = [0, 0, 0]_{\alpha_3 = h^+(\alpha_1, \alpha_2)}, \sigma_3^- = [0, 0, 1]_{\alpha_3 = h^-(\alpha_1, \alpha_2)}$ , аналітичний розв'язок якої приведено в роботі [7].

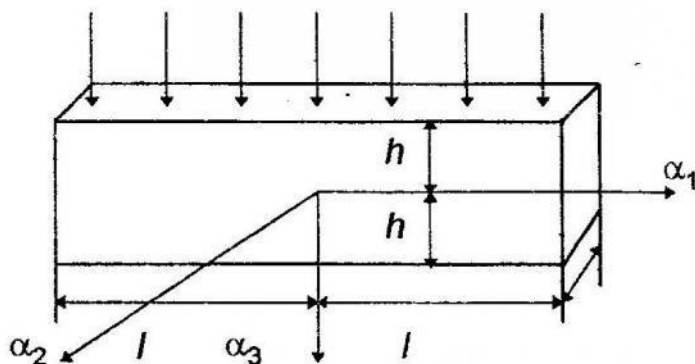


Рис. 1. Плоский напруженний стан пластиини.

Для чотирьох скінчених елементів вздовж координати  $\alpha_1$  і різного значення кількості членів розкладу  $M_i$  в формулі (13) вздовж координати  $\alpha_3$  в табл. 1 приведені значення переміщень  $u_3$  при  $\alpha_1 = 0$ .

Табл. 1. Значення переміщень  $u_3$  в центрі пластиини

$\alpha_3$	$M_1 = 1,$ $M_3 = 0$	$M_1 = 1,$ $M_3 = 2$	$M_1 = 2,$ $M_3 = 3$	$M_1 = 3,$ $M_3 = 4$	анал. розв.
-h	178.75	191.58	192.02	203.61	205.5
0	178.75	184.04	184.04	194.03	196.5
h	178.75	166.76	166.31	177.9	180.5

В табл. 2 приведені значення напружень  $\sigma_{11}, \sigma_{33}$  в точці  $\alpha_1 = 0, \alpha_3 = -h$ .

Табл. 2. Напруження на навантаженій поверхні пластиини

	$M_1 = 1,$ $M_3 = 0$	$M_1 = 1,$ $M_3 = 2$	$M_1 = 2,$ $M_3 = 3$	$M_1 = 3,$ $M_3 = 4$	анал. розв.
$\sigma_{11}$	-3.03	-3.03	-3.04	-3.04	-3.20
$\sigma_{33}$	-0.909	-1.02	-1.02	-1.00	-1.00

Як видно з приведених в табл. 1,2 результатів для співвідношення  $h/l = 1/2$  при збільшенні членів розкладу в формулі (13) запропонувана методика дозволяє отримувати хороші результати як для переміщень так і для напружень.

Задача 2.

На прикладі задачі про папружене-деформований стан нескінченної в напрямі координати  $\alpha_2$  пластини, шарнірно опертої при  $\alpha_1 = -l/2$ ,  $\alpha_1 = l/2$  і навантаженої рівномірним тиском на край  $\alpha_3 = h/2$ , досліджувалися питання використання запропонованого підходу до розв'язування задач для тіл з малою відносною товщиною. Ця задача має аналітичний розв'язок в рамках теорії пластин типу Тимошенка. В табл. 3 приведені значення прогину в центрі пластини і папруження  $\sigma_{11}$  в точці  $\alpha_1 = 0, \alpha_3 = h/2$  для значення  $M_1 = 1, M_3 = 2$  і чотирьох скінчених елементів вздовж ширини пластини для різних відношень  $h$  (розмір вздовж координати  $\alpha_3$ ) до  $l$  (розмір вздовж  $\alpha_1$ ).

Табл. 3. Значення прогину пластини і напружень для різних відносних товщин

$h/l$	0.1	0.01	0.001	0.0002
$u_3$	145.0	$1.4 \cdot 10^5$	$14 \cdot 10^8$	$1.75 \cdot 10^{10}$
$w$ – анал.розв.	146.09	$1.42 \cdot 10^5$	$1.42 \cdot 10^8$	$1.78 \cdot 10^{10}$
$\sigma_{11}$	75.6	7400	$7.38 \cdot 10^5$	$1.84 \cdot 10^7$
$\sigma_{11}^{anal}$	75.0	7500	$7.5 \cdot 10^5$	$1.88 \cdot 10^7$

Задача 3

Розглянемо задачу про згин квадратної шарнірно опертої плити ( $-a \leq \alpha_1 \leq a, -a \leq \alpha_2 \leq a, -h/2 \leq \alpha_3 \leq h/2$ ) під дією синусоїdalного навантаження  $\sigma_{33} = q_0 \sin(\pi/2a)\alpha_1 \sin(\pi/2a)\alpha_2$ . Для такої задачі існує тривимірний розв'язок Б.Ф. Власова [1].

Для товстої плити ( $a/h=2$ ) в табл. 4 приведені значення переміщення  $u_3$  і напруження в центрі плити ( $\alpha_1 = \alpha_2 = a/2$ ) для різних значень членів розкладу в формулі (13) і  $2 \times 2$  квадратичних елементів на четвертині плити.

Результати, приведені в табл.4, демонструють можливість дослідження за допомогою даної методики ефекту обтиску лише збільшенням порядку поліномів у формулі (13) без побудови спеціальної теорії оболонок.

Табл. 4. Переміщення і напруження в товстій плиті

$u_3 E / q_0 h$					
$\alpha_3 / h$	розв'язок [1]	$M_1 = M_2 = 1$ $M_3 = 0$	$M_1 = M_2 = 1$ $M_3 = 2$	$M_i = 3$	$M_i = 4$
-0.5	1.215	0.8909	1.089	1.206	1.217
0.	0.967	0.8909	0.8961	0.9709	0.9648
0.5	0.772	0.8909	0.6910	0.7632	0.7684
$\sigma_{11} / q_0$					
-0.5	-1.205	-0.912	-0.962	-1.33	-1.25
0.	-0.022	0.	0.043	0.01	0.097
0.5	0.832	0.912	0.842	0.964	0.872

Як видно із приведених вище результатів дослідження задач 1-3, запропонована методика дозволяє розв'язувати широкий діапазон задач теорії пружності, задаючи певну кількість членів розкладу в формулі (13) і не використовуючи при цьому спеціальних математичних моделей, наприклад, таких як рівняння плоского напруженого стану, згину пластин і згину товстих плит.

1. Власов Б. Ф. Об одном случае изгиба прямоугольной толстой плиты // Вестн. Моск. ун-та: Механика и математика. – 1957. – № 2. – С. 25-34.
2. Гуляр А.И., Майборода Е.А., Сахаров А.С. Эффективность полуаналитического метода конечных элементов при расчете призматических тел переменного сечения // Сопротивление материалов и теория сооружений. – 1987. – Вып. 52. – С. 64-67.
3. Зенкевич О. Метод конечных элементов в технике. – М.: Мир, 1975. – 542 с.
4. Копитко М.Ф., Савула Я.Г. Об одном возможном расширении класса оболочек нулевой гауссовой кривизны // Проблемы машиностроения.-1982. – № 17. – С. 61-65.
5. Савула Я.Г., Флейшман Н.П. Расчет и оптимизация оболочек с резными поверхностями. – Львов: Вища школа, 1989. – 172 с.
6. Савченко В.Г., Шевченко Ю.Н. Методы исследования термовязкопластического деформирования трехмерных элементов конструкций (Обзор) // Прикладная механика. – 1993. – 29, № 9. – С.3-19.
7. Тимошенко С.П., Гудъер Дж. Теория упругости. – М.: Наука, 1979. – 560 с.
8. Babuska I., Li Kang L. The problem of plate modeling: Theoretical and computational results // Computer Methods in Applied Mechanics and Engineering. – 1992.-№ 100. – P. 249-273.